

牡丹鹦鹉 (*Psittacula agapornis*) 的鸣声发育

杨红振^{1,2}, 李东风^{1,2}, 蒋锦昌²

(1. 华南师范大学生命科学学院, 广州 510631;

2. 中国科学院生物物理研究所, 脑与认知科学国家重点实验室, 北京 100101)

摘要: 牡丹鹦鹉的鸣声发育分为 5 个时期。0~12 d 为先天性鸣声期, 鸣声特征为以基本音 (BS) 为主音的单音节单音调声, 声长短。13~30 d 为空白模板形成期, 鸣声特征为以基本音为主音的多音节单音调声, 声长和音量显著性增加, 表明发声学习通路开始形成。31~45 d 为鸣声模板形成期, 鸣声特征为以第 1 陪音 (UP₁) 为主音的多音节单变调声, 声长和音量显著性增加, 主音频提升约 920 音分, 涵盖的律音数增加 1 倍, 表明发声学习模板逐渐形成, 发声学习开始。46~90 d 为鸣声反馈学习期, 鸣声特征为以 BS 和 UP₁ 为主音的双变调声, 声长和音量显著性增加, 主音频涵盖的律音数增加 2.6~3.0 倍, 第 2 主音频提升约 970 音分, 表明稳定模板逐渐形成, 短期记忆逐渐向长期记忆转化。91 d 后为完美鸣声期, 鸣声特征为以 UP₁ 为主音的复合变音调声, 声长、音量、主音频的提升和涵盖的律音数都趋于平稳, 鸣声稳定而和谐, 表明发声运动通路基本形成。这些结果可为进一步揭示鸟类发声学习记忆机制提供直接的声学证据。

关键词: 牡丹鹦鹉; 鸣声发育期; 声学特性

中图分类号: Q424

0 引言

鸟类是自然界中具有复杂发声行为的动物之一, 对其发声行为的研究已经成为探索脑学习记忆神经机制的重要内容^[1~4]。通过对斑胸草雀 (Zebra finch)、金丝雀 (Canary) 等鸣禽鸟的研究, 许多学者认为鸟类的鸣声学习与人的语言学习一样, 是由先天因素和后天经验相互作用形成的^[5]。幼年斑胸草雀的鸣声发育经历亚音期 (20~35 d)、塑性鸣啭期 (35~90 d) 和稳定鸣啭期 (90 d 后)^[6]。

鹦鹉属于亚鸣禽, 其发声学习记忆与鸣禽有很多相似之处。如与鸣禽一样, 正常鸣声的发育都依赖听觉反馈^[7], 前脑亦具有与鸣禽相同的控制发声核团高级发声中枢 (HVC) 和弓状皮质核 (RA)^[8]。因而鹦鹉与鸣禽的声音发育过程具有可比性。本实验旨在阐明亚鸣禽幼鸟的音节发育特征及其在整个发育过程中的变化, 为进一步揭示鸟类发声学习记忆的机制提供直接的声学证据。

1 材料与方法

实验动物为牡丹鹦鹉 (*Psittacula agapornis*), 又名情侣鹦鹉, 鹦形目, 鹦鹉科。实验动物共 8 只, 两对成年鸟和 4 只幼鸟, 鸣声录制采集于幼鸟

期。雏鸟出壳后由亲鸟饲喂, 35~40 日龄开始离巢, 50 日龄左右可独立生活, 6 个月左右达到性成熟。

鸣声由 SHARP-GF-6060 型录音机内置传声器 (频响范围 50~13 000 Hz) 和 SONY 型盒式磁带记录, 距声源 20 cm, 声音经过整理和筛选后, 输入 662B 型语图仪 (频响 85~12 000 Hz), 声音取样长度为 2 400 ms, 选择 HS 档 (从 1 000 Hz 开始每倍频程提高 6 dB) 依次分析。时域特性由滤波器带宽 300 Hz 的三维声图测量, 频率特性由滤波器带宽 45 Hz 的三维音图和功率谱测量, 时间、频率和相对幅值的测量标尺分别为 7.56 ms/mm、118 Hz/mm 和 1.26 dB/mm。同时, 将相应声音用 SHARP-GF-6060 录音机输入计算机, 用 Matlab 软件处理, 取样长度 0.05~5.0 s 不等, 制成声图和功率谱图, 显示鸣声的频率范围、能量分布和鸣肌的振动频

收稿日期: 2005-10-18

基金项目: 国家自然科学基金项目 (30370197, 30570232), 教育部科学技术研究重点项目(01062), 广东省自然科学基金项目 (05005910) 和中国科学院生物物理研究所、脑与认知科学国家重点实验室基金项目

通讯作者: 李东风, 电话: (020)85215208,

E-mail: dfliswx@eyou.com

率。声图和功率谱图由原图透视描绘, 不影响声学特性的分析。将所得结果用 SPSS 统计软件进行 ANOVA 分析和相关性处理。

2 结 果

根据声音发育特征, 我们首次将牡丹鹦鹉从出生至 91 d 后分为 5 个鸣声发育期 (developmental phase of call, DPC)。它们分别为 0~12 d 的先天性鸣声期 (congenital call phase, CCP)、13~30 d 的空白模板形成期 (blank-model-forming phase,

BMFP)、31~45 d 的鸣声模板形成期 (call-model-forming phase, CMFP)、46~90 d 的鸣声反馈学习期 (call-feedback-learning phase, CFLP) 和 91 d 后的完美鸣声期 (excellent call phase, ECP)。

2.1 CCP 的叫声模式

该期由亲鸟喂养, 雏鸟叫声主要为与摄食行为有关的本能叫声, 由近似 “qie-” 的单次叫声 (single call, SC) 组成的重复叫声 “qie- … qie-”, 见图 1。

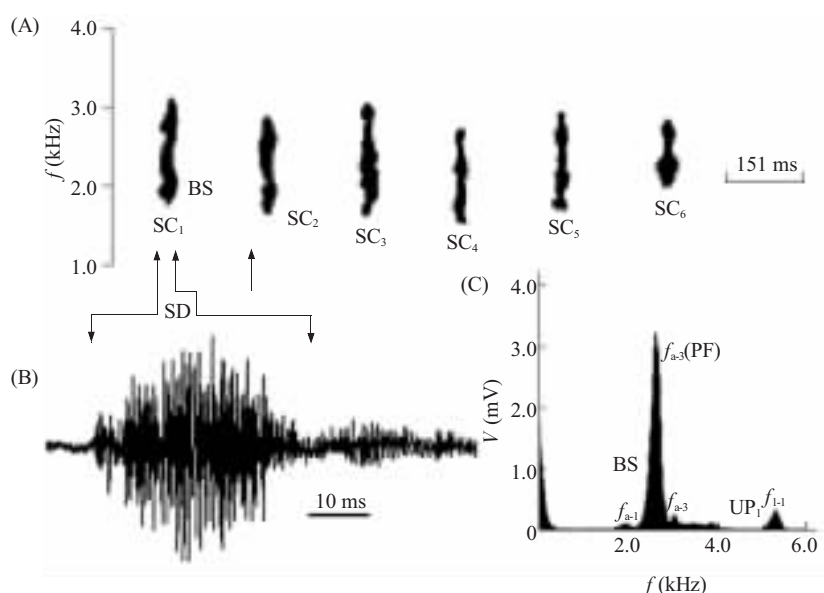


Fig.1 Sonogram (A), waveform (B) and spectrum (C) of congenital call phase in *Psittacula agapornis*. SC₁₋₆: single call “qie-”; SD: sound duration; Iss: interval of SC; BS: basic sound; UP₁: upper partials; \$f_{a-1-3}\$ and \$f_{1-1}\$: peak-frequency of BS and UP₁; PF: principal frequency

图 1A 中, 0~12 d 期间的叫声由 6 个相似的单次叫声 (SC₁~SC₆) 组成, 每个单次叫声的声长 (SL) 和间隔 (Iss) 基本相同, 分别约为 39~52 ms 和 145~160 ms。声图中只显示基本音 (BS), 陪音 (UP₁) 因能量低而无显示。图 1B 中, 单次叫声的时间波形非常规则和整齐, 为无明显的音节 (syllable, S) 分割的单音节声。图 1C 中, 6 个单次声的平均谱显示由基本音 (BS) 和 1 个陪音 (UP₁) 频带组成。BS 含 3 个峰频率 (\$f_{a-1}\$、\$f_{a-2}\$ 和 \$f_{a-3}\$), 并以 \$f_{a-2}\$ 为主频率 (PF), PF (2 690 Hz) 的幅值 (3.22 mV) 比 \$f_{a-1}\$ (1 920 Hz)、\$f_{a-3}\$ (3 080 Hz) 和 UP₂ 的峰频率 (\$f_{1-1}=5 380\$ Hz) 的幅值分别高

34.2、23.9 和 21.6 dB, 而且 UP₁ 为 BS 的低幅值谐音 (\$f_{1-1}=2f_{a-2}\$)。

可见, 牡丹鹦鹉先天性鸣声期的单次叫声由单音节组成, 模式简单、声音结构稳定、声长短, 以基本音 (BS) 为主音的单音调声, 并带 1 个低幅值谐音 (UP₁)。

2.2 BMFP 的叫声模式

该期仍由亲鸟喂养, 叫声模板尚未形成, 其叫声由近似 “qie-” 的单次叫声组成的重复叫声 “qie- … qie-”, 但每个单次叫声较 CCP 明显复杂化, 见图 2。

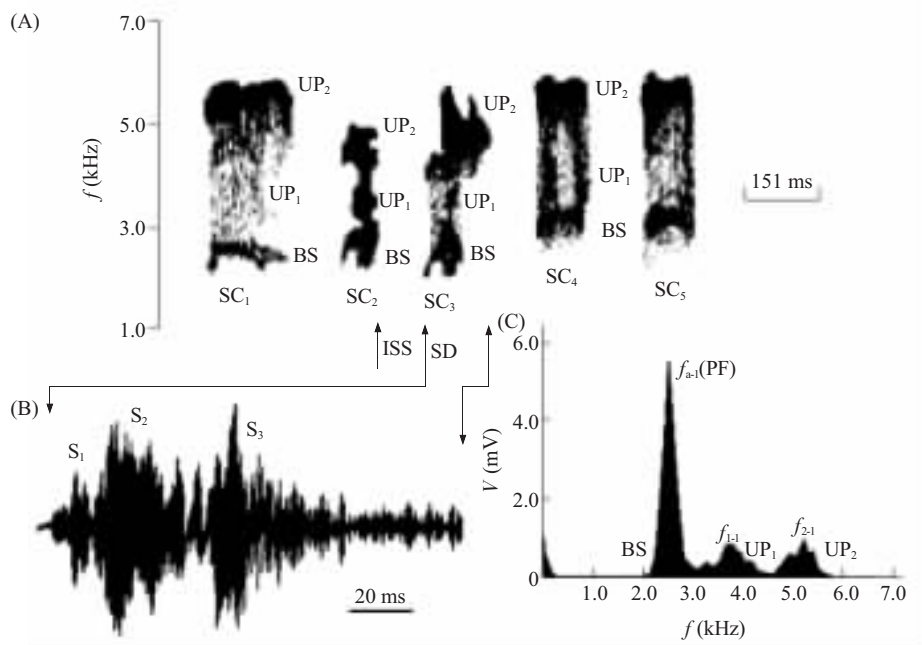


Fig.2 Sonogram (A), waveform (B) and spectrum (C) of blank-model-forming phase in *Psittacula agapornis*. SC₁₋₅: single call; SD: sound duration; I_{ss}: interval of SC; S_{1~3}: syllable; BS: basic sound; UP_{1, 2}: upper partials; f_{a-1} f₁₋₁, and f₂₋₁: peak-frequency of BS, UP₁ and UP₂; PF: principal frequency

图2A中，13~30 d期间的叫声由5个有明显差异的单次叫声(SC₁₋₅)组成，每个单次叫声的声长(SL)差异较大，约为70~180 ms；间隔(Iss)的差异较小，约为90~100 ms。同时，声图中显示出基本音(BS)和2个陪音(UP₁和UP₂)，相应的频带展布呈平坦状，无明显的音调提升和下降变化。图1B中，单次叫声的时间波形呈明显的音节分割，并含3个音节(S₁₋₃)。图1C中，5个单次声的平均谱显示由基本音(BS)和2个陪音(UP₁、UP₂)频带组成。BS的峰频率(f_{a-1}=2 520 Hz)为主频率(PF)，其幅值(5.54 mV)比UP₁和UP₂的峰频率(f₁₋₁=3 700 Hz和f₂₋₁=5 410 Hz)的幅值分别高16.2和14.6 dB。

可见，牡丹鹦鹉空白模板形成期的单次叫声仍是以基本音(BS)为主音的单音调声，但声图结构和声长出现明显的变化，并由多个音节组成，带2个低幅值非谐陪音。

2.3 CMFP的叫声模式

此期幼鸟开始出窝，随着活动空间增大和行为活动的多样化，叫声模板开始形成，出现明显的音调变化过程，由近似“qiu^”的单变调单次叫声组成重复叫声“qiu^…qiu^”，见图3。

图3A中，30~45 d期间的叫声由8个相似的

单次叫声(SC₁₋₈)组成，每个单次叫声的声长(SL)和间隔(Iss)的差异不大，分别约为150~210 ms和210~260 ms。同时，声图中显示出基本音(BS)和2个陪音(UP₁和UP₂)，相应的频带展布呈明显的频率提升/下降过程，例如，SC₁中UP₁的频率提升/下降[a(3 350 Hz)↗b(4 510 Hz)↘c(3 200 Hz)]分别约提升5.2/下降5.9个半音[semitone, S=39.86log(f₁/f₂)]。可见，每个单次叫声都近似为“qiu^”的单变音调叫声。图3B中，单次叫声的时间波形明显分割为2音节(S₁₋₂)。图3C中，8个单次声的平均谱显示由基本音(BS)和2个陪音(UP₁和UP₂)频带组成。BS的峰频率(f_{a-1~3})分别为2 480、2 950和3 240 Hz；UP₁的f_{1-1~2}分别为4 100和5 050 Hz，并以f₁₋₁为主频率(PF)；UP₂的f₂₋₁为6 290 Hz。PF的幅值(7.52 mV)比f_{a-1}、f_{a-2}、f_{a-3}、f₁₋₂和f₂₋₁的幅值分别高3.3、9.9、8.9、3.6和21.9 dB。

可见，牡丹鹦鹉鸣声模板形成期的单次叫声为具有明显频率提升和下降过程的单变调声，第1陪音(UP₁)为主音，带2个高幅值的非谐伴音(2 480和5 050 Hz)，改善叫声的音色。但是单次叫声的声图结构和声长缺乏明显的变化。

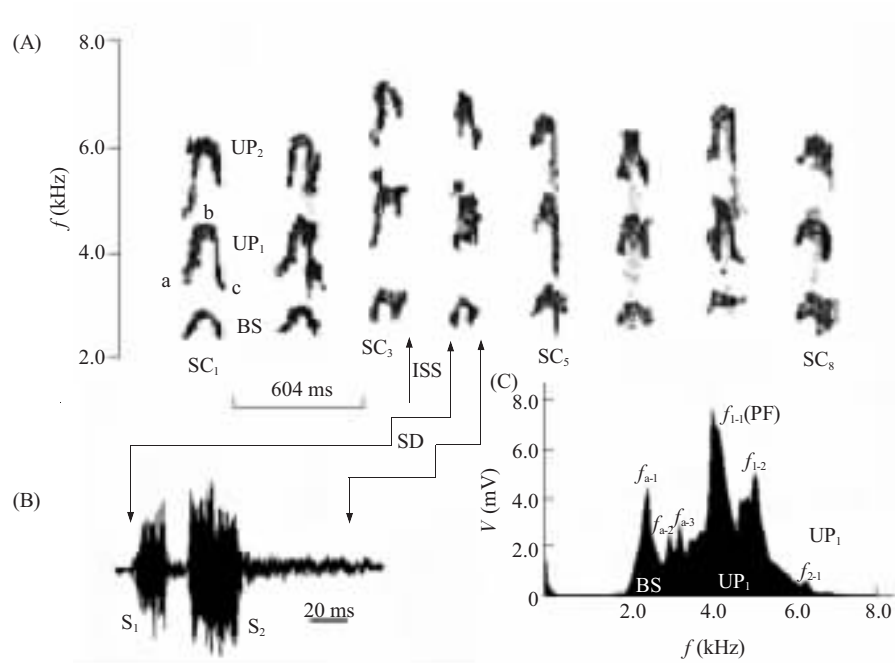


Fig.3 Sonogram (A), waveform (B) and spectrum (C) of call-model-forming phase in *Psittacula agapornis*. SC₁₋₈: single call (in SC₁, a ↗ b ↘ c frequency up/down); SD: sound duration; Iss: interval of SC; S₁ and S₂: syllable; BS: basic sound; UP_{1,2}: upper partials; f_{a-1}, f_{1-1~3} and f_{2-1~2}: peak-frequency of BS; UP₁ and UP₂; PF: principal frequency

2.4 CFLP 的叫声模式

此期幼鸟可独立生活，随着年龄增长，叫声模版形成，习得性叫声增多，由近似“qiu^”的单变

调单次叫声和近似“qiu^”的双变调单次叫声组成重复叫声“qiu^...qiu^”，见图 4。

图 4A 中，46~90 d 期间的叫声由 7 个变化较

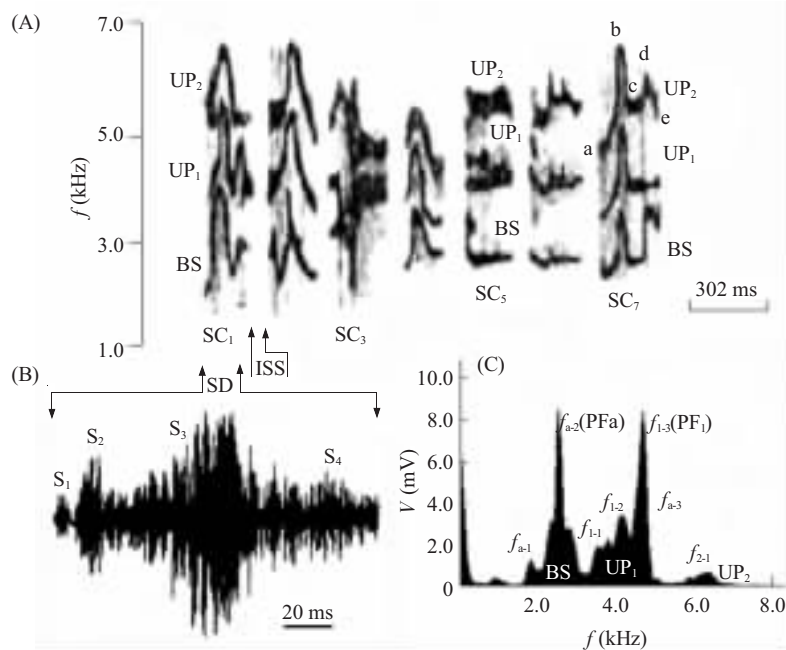


Fig.4 Sonogram (A), waveform (B) and spectrum (C) of call-feedback-learning phase in *Psittacula agapornis*. SC₁₋₇: single call (in SC₇, a ↗ b ↘ c and c ↗ d ↘ 2: frequency up/down); SD: sound duration; Iss: interval of SC; S₁~S₄: syllable; BS: basic sound; UP_{1,2}: upper partials; f_{a-1,2}, f_{1-1~3} and f₂₋₁: peak-frequency of BS; UP₁ and UP₂; PF: principal frequency

大的单次叫声 (SC₁₋₇) 组成, 每个单次叫声的声长 (SL) 和间隔 (Iss) 的差异不大, 分别约为 190~250 ms 和 50~75 ms。同时, 声图中显示出基本音 (BS) 和 2 个陪音 (UP₁ 和 UP₂), 相应的频带展布不仅保留类似 CMFP 幼鸟叫声的单次频率提升 / 下降过程 (例如, SC₁ 的 UP₂、SC₂ 的 UP₁ 和 UP₂、SC₄), 而且出现双重频率提升 / 下降过程 (例如 SC₁ 的 UP₁, SC₂ 的 BS, SC₃、SC₅、SC₆ 的 UP₁ 和 UP₂, SC₇ 的 BS 和 UP₂), 其中, SC₇ 的 UP₂ 中 a(4 530 Hz) ↗ b(6 410 Hz) ↘ c(5 240 Hz) 和 c(5 240 Hz) ↗ d(5 940 Hz) ↘ e(5 120 Hz) 分别提升 6.0/下降 3.5 个半音和提升 2.2/下降 2.6 个半音。图 4B 中, 单次叫声的时间波形明显分割为 4 个音节 (S₁₋₄)。

图 4C 中, 7 个单次叫声的平均谱显示由基本音 (BS) 和 2 个陪音 (UP₁₋₂) 频带组成。BS 的峰频率 (fa-1 和 fa-2) 分别为 1 810 和 2 470 Hz, UP₁ 的 f1-1~3 分别为 3 510/3 790 Hz、4 120 Hz 和 4 700 Hz, UP₂ 的 f2-1 为 6 350 Hz, 并以 fa-2 和 f1-3 为主频率 (PFa 和 PF1), 其幅值 (8.33 mV) 比 fa-1、f1-1、f1-2 和 f2-1 分别高 16.7 dB、12.9 dB/11.6 dB、8.0 dB 和 22.8 dB。

可见, 牡丹鹦鹉鸣声反馈学习期的叫声更为复

杂, 并以基本音 (BS) 和第 1 陪音 (UP₁) 为主音的多音节双变调声, 带 1 个低幅值的非谐伴音 (UP₂), 改善叫声的音色。

2.5 ECP 的叫声模式

此期虽然幼鸟尚未未成年, 但随着习得性叫声的获得和增多, 叫声为由近似单变调 “qu~”、双变调 “qu^~” 和 “qu~^” 的单次叫声组成的重复叫声, 见图 5。

图 5A 中, 91 日龄后的叫声由 6 个变化较大的单次叫声 (SC₁₋₆) 组成, 每个单次叫声的声长 (SL) 和间隔 (Iss) 的差异不大, 分别约为 150~260 ms 和 40~110 ms。同时, 声图中显示出基本音 (BS) 和 2 个陪音 (UP₁ 和 UP₂), 相应的频带展布不仅保留 CFLP 叫声的双重频率提升 / 下降过程的双变调单次叫声 “qu^~” (例如, SC₁~SC₃), 而且出现单次和双重频率提升 / 下降的逆过程的单变调和双变调单次叫声 “qu~” 和 “qu~^” (例如 SC₄ 和 SC₅、SC₆), 例如, SC₄ 的 BS 中 a(2 350 Hz) ↘ b(1 250 Hz) ↗ c(2 200 Hz) 分别下降 10.9/提升 9.8 个半音。图 4B 中, 单次叫声 (SC₄) 的时间波形明显分割为 5 个音节 (S₁₋₅), 与相应的频率提升 / 下降相适应。

图 5C 中, 6 个单次叫声的平均谱显示由基本

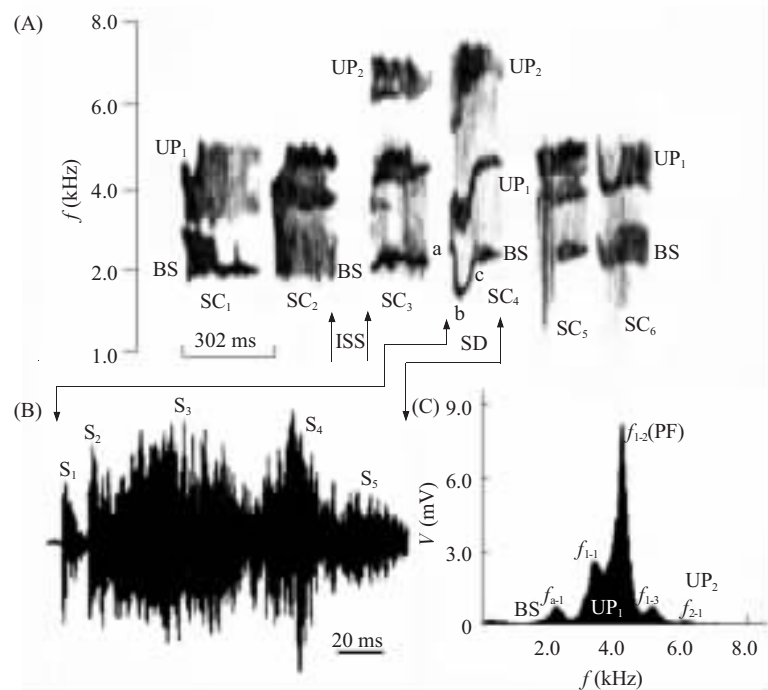


Fig.5 Sonogram (A), waveform (B) and spectrum (C) of excellent call phase in *Psittacula agapornis*. SC₁₋₆: single call (in SC₄, a ↘ b ↗ c frequency down /up), SD: sound duration; Iss: interval of SC; S₁~S₄: syllable; BS: basic sound; UP_{1, 2}: upper partials; fa-1, f1-1~3 and f2-1: peak-frequency of BS; UP₁ and UP₂; PF: principal frequency

音 (BS) 和 2 个陪音 (UP_1 、 UP_2) 频带组成。BS 的峰频率 (fa -1) 为 2 240 Hz, UP_1 的 $f1$ -1~3 分别为 3 320、4 200 和 5 070 Hz, UP_2 的 $f2$ -1 为 6 150 Hz, 并以 $f1$ -3 为主频率 (PF), 其幅值 (8.31 mV) 比 fa -1、 $f1$ -1、 $f1$ -2 和 $f2$ -1 分别高 20.3、9.8、20.3 和 29.8 dB。

可见, 牡丹鹦鹉完美鸣声期的叫声更为完美和复杂, 不仅保留 CFLP 的叫声特性, 而且出现单次和双重频率提升 / 下降的逆过程, 为多音节复合变调声。

2.6 不同鸣声发育期叫声特性的比较

4 只牡丹鹦鹉不同鸣声发育期的叫声特性参数

见表 1。由表 1 可见牡丹鹦鹉单次叫声的声长 (SD) 和主频率 (PF) 的相对幅值 (relative amplitude, RA=20log(V_n/V_0), V_0 和 V_n 为 CCP 和其他鸣声发育期叫声 PF 的电压幅值) 与发育期的关系, 见图 6A 和 B。以 CCP 为基准的鸣声发育期叫声主频率 (PF) 的等程音阶 ETS (equally tempered scale) 见图 6C, 一个倍频程分为 12 个等频程音阶, 每个音阶提升 100 音分 [C (cent)=3986.3log(f/f_0)], 及其 PF 的个体变差带宽 (PF-SD~PF+SD) 所含的律音 (note) 数^[9]。

图 6A 和 B 中, 牡丹鹦鹉 0~12 d 先天性鸣叫期 (CCP) 不仅单次叫声的声长 (SL) 最短, 而

Table 1 The characteristic call parameter in different developmental phase of *Psittacula agapornis*

DPC	SD/(ms)	BS(kHz/mV)	UP ₁ (kHz/mV)	UP ₂ (kHz/mV)
CCP	46.9±5.0	2.52±0.15/3.25±0.39*		5.40± 0.32/0.38± 0.08
BMFP	114.6±27.6	2.45±0.28/4.41±0.68*	3.70±0.44/0.92±0.15	5.40± 0.32/1.03± 0.32
CMFP	178.2±27.8	2.40±0.48/4.28±0.72	4.28±0.72/6.45±1.26*	6.40± 1.18/0.57± 0.09
CFLP	225.1±24.3	2.45±0.54/8.32±1.32*	4.41±0.83/8.15±0.97*	6.40± 0.72/0.57± 0.11
ECP	243.7±33.4	2.40±0.33/0.67±0.18	4.40±0.42/8.35±0.69*	

Sample number is 4, *: principal frequency

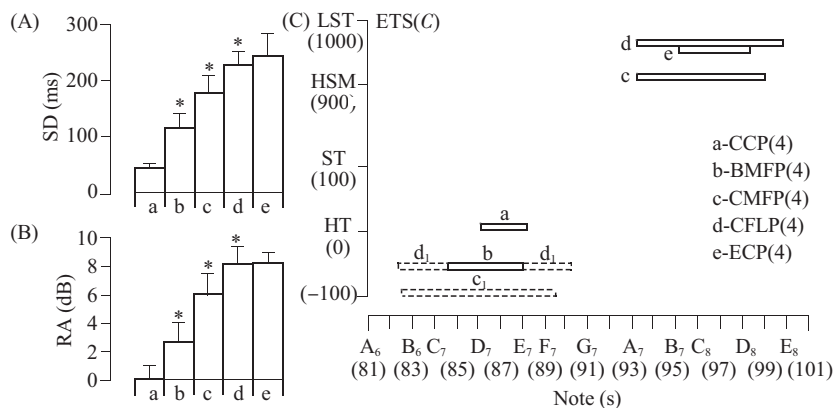


Fig.6 Comparison of characteristic call in different call developmental phase (a~e) in *Psittacula agapornis*. SD: sound duration of single call; RA: relative amplitude of call PF ($P<0.05$); C: cent; LST: low-subtonic; HSM: high-submedinat; ST: semitone; HT: homotone; A₆~E₈: note; S: number of semitone related to note ($S=39.86\log(f/f_0)$, $f_0=16.352$ Hz, $f=PF-SD~PF+SD$), cBS and dBS: B of CMFP and CFLP in Fig.1

且主频率相对幅值 (RA) 所表征的叫声音量最小 (图 6A 和 B-a), 随着个体发育的增长, 其他鸣叫期 (BMFP、CMFP 和 CFLP) 单次叫声的声长和音量都显著性增长和增高 (图 6A 和 B-b、c、d), 91 d 后的完美鸣叫期 (ECP) 趋于稳定 (图 6A 和 B-e)。

图 6C-a 中, 牡丹鹦鹉先天性鸣叫期 (CCP)

的叫声主频率 (PF) 为同音 ($C=0$), 其个体变差带宽为 86.1~88.2 个半音, 涵盖 3 个律音 (D7~E7)。图 6C-b 中, 空白模板形成期 (BMFP) 的 PF 与先天性鸣叫期相似, 仅平均下降 48.8 音分, 个体变差带宽 (84.6~88.0 个半音) 涵盖 4 个音 (C7~E7), 即增加 1 个律音。图 6C-c 中, 鸣声模板形成期 (CFLP) 的 PF 提升 9 个音阶 (917.0

音分), 即为大六度 (HSM), 其个体变差带宽 (93.2~99.9个半音) 涵盖6个律音 (A7~D8)。图6C-c1中, CMFP 叫声的高幅值伴音 (BS) 接近降半音 (-84.5 音分), 个体变差带宽 (82.5~89.5 个半音) 涵盖7个律音 (B6~F7)。图 6C-d 中, 鸣声反馈学习期 (CFLP) 的 PF1 (UP_1) 接近提升 10 个音阶 (968.7 音分), 即为小七度 (LST), 其个体变差带宽 (93.2~99.9 个半音) 涵盖8个律音 (A7~E8)。图 6C-d1 中, CFLP 叫声的 PFa(BS)sui 虽只下降 48.8 音分, 但个体变差带宽 (82.4~90.2 个半音) 涵盖9个律音 (A6~F7)。图 6C-e 中, 鸣声完美期 (ECP) 的 PF 接近提升 10 个音阶 (964.8 音分), 即为小七度 (LST), 其个体变差带宽 (95.1~98.4 个半音) 涵盖4个律音 (B7~D8)。

由此可见, 在整个鸣声发育期, 不仅单次叫声的声长和音量约分别平均增长 5.1 倍和提高 8.2 dB, 而且主频率和个体变差带宽所含盖的律音数分别约提升 9~10 个音阶和增加 1 倍, 到鸣声完美期都趋于稳定。

3 讨 论

幼鸟的发声学习过程是由先天因素和后天经验相互作用形成的。实验结果表明, 牡丹鹦鹉 CCP 的鸣声是先天性的, 音节单一, 声长短, 声强低, 自然状态下鸣叫极少, 激惹状态下的鸣声也比较简单。其主要原因可能是发声学习通路中的神经元未发育完全, 所以此时幼鸟只能发出一些单音节结构的单次声, 并以基本音为主音的单音调声, 如同刚出生的婴儿在出生后不久的“咿呀学语”一般, 但这种“咿呀学语”是构成模仿发声前进行发声训练的重要步骤之一^[10]。

牡丹鹦鹉 BMFP 的鸣声受先天因素影响的成分仍然较大, 仍以基本音为主音的单音调声, 主音频的音高 (musical pitch) 和涵盖的律音数都相仿。但随着幼鸟逐渐开始模仿鸣叫, 鸣声开始复杂化, 单次叫声不仅由多个音节组成, 而且时程增长, 声强显著增高。同时, 声图结构不稳定, 表明发声时鸣肌的收缩运动不稳定, 提示此期发声学习前端脑通路 (HVC→X 区→DLM→MAN) 的核团间联系和发声运动通路 (HVC→RA→DM→nXI-Its) 对鸣肌支配的不稳定性。此期大部分 HVC 中向 X 区投射神经元刚刚产生, 神经元之间的联系尚未形成, 尤其还不具有对鸣声的编码功能, 这种

不具有鸣声编码功能的神经元即组成“空白模板”, CCP 和 BMFP 相当于鸣禽发育过程中的亚音期^[11]。

牡丹鹦鹉发育到大约一个月之后, CMFP 的鸣声开始发生了显著变化, 双音节单次叫声的时程继续增长, 出现明显的音调提升和下降变化, 并以第 1 陪音 (UP_1) 为主音, 声强进一步增高, 不仅音高提升约 920 音分 (接近 9 个音阶), 而且涵盖的律音数 (6 个) 约增加 1 倍。这表明鸣声模板已经具有编码某种单一鸣声的能力。Kirn 等^[12]发现鸣禽鸟在出生后 30 d 左右开始学习鸣啭, 这时 RA、X 区、DLM 和 LMAN 等核团的神经元生长, 体积增大, 突触联系增加, 并逐渐形成有编码功能的鸣啭模板。同时幼鸟开始学习一些传入指令和由此而导致的听觉反馈之间的关系, 这种关系一旦建立, 特异的鸣声就变得更加容易模仿^[13]。主频率的声强与其它次要频率相比不占有明显优势, 表明了此期鸣声的稳定性仍然较差, 提示发声运动控制系统的发育滞后于发声学习环路系统的发育。在这一阶段内发声学习环路系统的完善可能是以后选择性模板形成的基础^[14]。

牡丹鹦鹉 CFLP 的鸣声进一步复杂化, 其单次叫声为多音节双变调声, 声长和声强进一步增长和增大。第 1 主音频 (BS 的 PFa) 虽然音高仅下降约 50 音分, 但涵盖的律音数 (9 个) 增加 3 倍, 第 2 主音 (UP_1 的 PF1) 音高提升约 969 音分 (接近 10 个音阶), 涵盖的律音数 (8 个) 约增加 2.7 倍。提示在此过程中, 随着发声控制神经系统神经元之间突触联系的增加, 可塑性模板形成, 在听觉反馈的作用下, 其中的一些突触联系得到加强, 短期记忆部分转化为长期记忆。鸣禽鸟也是从孵出后 45 d 左右开始, 经过大约两周, 形成发声学习相关的可塑性模板, 同时伴有新的音节或音库单元产生^[14]。研究表明, 发声控制回路的发育与鸣声发育以及新的音节的产生和完善是同步的, 随着幼鸟的性成熟, 其鸣声的语音错误也在不断减少^[15]。CMFP 和 CFLP 相当于鸣禽发育过程中的塑性鸣啭期。

牡丹鹦鹉 ECP 的鸣声进入稳定的合谐期, 单次叫声的声长、声强、主音频 (UP_1) 的音高提升 (965 音分) 和涵盖的律音数 (4 个) 都趋于平稳。显然与其同步化发育的神经基础是分不开的。一方面, DLM、IMAN 轴突末梢逐渐退化, IMAN 对发声行为的作用逐渐减小; 另一方面, HVC 中大量向 RA 的投射神经元在发声学习后期形成大量的突

触联系，在听觉反馈的反复作用下，少部分突触联系得以巩固和稳定，并成为稳定鸣声的重要神经基础。其中有大部分突触联系因没有得到巩固和稳定而逐渐凋亡。这样 HVC→RA 通路就承接先前发育的通路，逐渐控制了发声行为，编码习得的稳定鸣声^[16]。另外，RA 在长鸣声的识别和学习中起着重要的作用^[17]。此期牡丹鹦鹉的叫声主频率趋于稳定（约 4 400 Hz），鸣声完美和复杂，不仅保留 CFLP 的叫声特性，而且出现单次和双重频率提升 / 下降的逆过程，为多音节复合变调声。提示鸣声控制系统发育完全，鸣声稳定，这与上述结果一致。ECP 相当于鸣禽鸟鸣啭发育过程中的稳定鸣啭期。

参考文献：

- [1] 李东风. 鸣禽发声学习记忆的神经机制. 自然科学进展, 2001, 11(3):225~231
- [2] 李东风, 蒋锦昌, 李杰, 杨新宇, 汪大伟, 陈浩. 断鸣管神经支对金翅雀鸣声的影响. 中国科学 (C辑), 1999,29(5): 468~474
- [3] 蒋锦昌, 李东风, 李杰, 杨新宇. 古纹状体粗核损毁对燕雀鸣声的影响. 中国科学 (C辑), 2000,30(2):191~199
- [4] 赵静, 蒋锦昌, 李东风. 栗鹀发声中枢对叫声的调控模式. 中国科学 (C辑), 2003,33(4):347~353
- [5] Troyer TW, Bottjer SW. Birdsong: models and mechanisms. *Curr Opin Neurobiol*, 2001,11(6):721~726
- [6] Nottebohm F. Reassessing the mechanism and origins of vocal learning in birds. *Trends in Neurosciences*, 1991,14(5): 206~211
- [7] Brainard MS, Doupe AJ. Auditory feedback in learning and maintenance of vocal behaviour. *Nat Rev Neurosci*, 2000, 1(1):31~40
- [8] Paton JA, Manogue KR, Nottebohm F. Bilateral organization of the vocal control pathway in the budgerigar *Melopsittacus undulatus*. *J Neurosci*, 1981,1:1276~1288
- [9] 马大猷, 沈毫 (编著). 声学手册. 北京: 科学出版社, 1983. 620~623
- [10] Nottebohm F. Ontogeny of bird song. *Science*, 1970,167: 950~956
- [11] Konishi M, Akutagawa E. Growth and atrophy of neurons labeled at their birth in a song nucleus of the zebra finch. *Proc Natl Acad Sci USA*, 1990,87:3538~3541
- [12] Kirn JR, DeVoogd TJ. Genesis and death of vocal control neurons during sexual differentiation in the zebra finch. *J Neurosci*, 1989,9:3176~3187
- [13] Brenowitz EA, Margoliash D, Nordeen KW. An introduction to birdsong and the avian song system. *J Neurobiol*, 1997, 33(5):495~500
- [14] Johnson F, Soderstrom K, Whitney O. Quantifying song bout production during zebra finch sensory-motor learning suggests a sensitive period for vocal practice. *Behav Brain Res*, 2002, 131:57~65
- [15] Nottebohm F. Birdsong as a model in which to study brain process related to learning. *Condor*, 1984,86:227~236
- [16] Bottjer SW, Arnold AP. Developmental plasticity in neural circuits for a learned behavior. *Annu Rev Neurosci*, 1997,20: 459~481
- [17] Vicario DS, Raksin JN, Naqvi NH, Thande N, Simpson HB. The relationship between perception and production in songbird vocal imitation: what learned calls can teach us. *J Comp Physiol A Neuroethol Sens Neural Behav Physiol*, 2002,188:897~908

THE CALL DEVELOPMENT OF PSITTACULA AGAPORNIS

YANG Hong-zhen^{1,2}, LI Dong-feng², JIANG Jinc-hang²

(1. College of Life Science, South China Normal University, Guangzhou 510631, China; 2. State Key Laboratory of Brain and Cognitive Science, Institute of Biophysics, Chinese Academy of Sciences, Beijing 100101, China)

Abstract: The call developmental process of *Psittacula agapornis* consists of five instinct phases according to its call character. In the first phase (congenital call phase, CCP, 0~12 day of age), the juveniles only produce single syllable with short syllable length. The second phase (blank-model-forming phase, BMFP, 13~30 day of age) is important for formation of vocal learning pathways. During this phase, the calls characterized by more and longer syllables. In the third phase (call-model-forming phase, CMFP, 31~45 day of age), the call development is guided by a model system for vocal learning, vocal learning is engendered so that some calls with multi-syllables with UP₁ are produced, principal frequency has increased about by 920 cent, the number of note is double that of second phase. The short-term memories are transformed into long-term memories in the forth phase (call-feedback-learning phase, CFLP, 46~90 day of age). The call of juveniles is a close match to tutor call which accompanied by double various sounds with BS and UP₁, and more resonance components were formed. Second principal frequency has increased about by 970 cent, the number of note increases by 2.6~3.0 times. During the fifth phase (excellent call phase, ECP, after 91 d), vocal motor pathway is developed and the calls are accompanied with most stable, harmonious vari-tone and complex repertoire. The result provided effective evidence for the mechanism of vocal learning and memory of birds.

Key Words: *Psittacula agapornis*; Call development phase; Acoustics character

This work was supported by grants from The National Natural Sciences Foundation of China (30370197, 30570232), The Natural Sciences Foundation of Guangdong Province (05005910), and The grand from State Key Laboratory of Brain and Cognitive Science, Institute of Biophysics, Chinese Academy of Sciences

Received: Oct 18, 2005

Corresponding author: LI Dong-feng, Tel: +86(20)85215208, E-mail: dfiswx@eyou.com